



(11) RO 130131 A2

(51) Int.Cl.

G01N 21/64 (2006.01),

G01N 21/71 (2006.01),

(12)

## CERERE DE BREVET DE INVENȚIE

(21) Nr. cerere: **a 2013 00551**

(22) Data de depozit: **23.07.2013**

(41) Data publicării cererii:  
**30.03.2015** BOPI nr. **3/2015**

(71) Solicitant:  
• **DOMOKOS ȘTEFAN, CART. EPISCOPIEI**  
**BL. D3, SC. C, AP. 6, BUZĂU, BZ, RO**

(72) Inventatori:  
• **DOMOKOS ȘTEFAN, CART. EPISCOPIEI**  
**BL. D3, SC. C, AP. 6, BUZĂU, BZ, RO**

(54) **METODĂ PENTRU VERIFICAREA DEPENDENȚEI DE  
TEMPERATURĂ A LĂRGIMII BENZII INTERZISE ȘI A  
FUNCȚIEI INTENSITĂȚII LUMINESCENȚEI RECOMBINĂRII  
EXCITONILOR LIBERI PENTRU GE PENTRU TEMPERATURI  
PÂNĂ LA 400 K ÎN CARE SE FOLOSEȘTE DEZVOLTAREA ÎN  
SERIE TAYLOR A EXPONENȚIALEI**

(57) Rezumat:

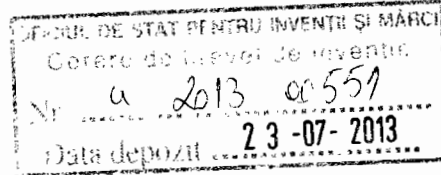
Invenția se referă la o metodă de verificare a dependenței de temperatură a energiei benzii interzise pentru Ge și a funcției luminescenței anihilării excitonilor liberi, prin care se efectuează o dezvoltare în serie Taylor a exponențialei din funcția luminescenței anihilării excitonilor liberi, în care se introduce dependența de ener-

gie a lărgimii benzii interzise, și se ajustează datele experimentale pentru temperaturi între 300 K și 400 K, pentru temperaturi mai joase fiind luate în considerare și corecții.

Revendicări: 4

Cu începere de la data publicării cererii de brevet, cererea asigură, în mod provizoriu, solicitantului, protecția conferită potrivit dispozițiilor art.32 din Legea nr.64/1991, cu excepția cazurilor în care cererea de brevet de invenție a fost respinsă, retrasă sau considerată ca fiind retrasă. Întinderea protecției conferite de cererea de brevet de invenție este determinată de revendicările conjuinate în cererea publicată în conformitate cu art.23 alin.(1) - (3).





## DESCRIEREA INVENTIEI

In aceasta cerere de brevet de inventie vom defini si vom folosi probabilitatea in unitatea de timp pentru a descrie o proprietate a tranzitiei electronilor din atomi de pe o stare cu energia mai mare pe o stare cu energia mai mica, si emisia de radiatie electromagneticica [1].

Presupunem ca vrem sa calculam, ca in bibliografie le pozitia [1], media urmatoarelor 30 de numere

$$1, 1, 2, 2, 2, 4, 4, 4, 4, 4, 4, 5, 5, 6, 6, 6, 6, 6, 6, 6, 6, 7, 7, 7, 8, 8, 9, 9, 10$$

Metoda directa este de a aduna intr-un mod simplu toate numerele si a imparti suma la 20

$$\begin{array}{r} 1 + 1 + 2 + 2 + 2 + 4 + 4 + 4 + 4 + 4 + 4 + 5 + 5 + 6 + 6 + 6 + 6 + 6 + 6 + 6 + 6 + 6 \\ + 6 + 6 + 7 + 7 + 7 + 8 + 8 + 9 + 10 \\ \hline 20 \end{array} = 7.5$$

Un sistem, de exemplu un gaz, care contine un numar mare de entitati, de exemplu molecule, este numit un ansamblu [1]. Daca un ansamblu contine  $N$  entitati, si daca pentru o marime fizica  $x$  numarul de entitati care au valoarea  $x_i$  este  $N_i$ , atunci  $f_i = \frac{N_i}{N}$  este fractiunea de entitati care au  $x = x_i$ , si media per ansamblu a marimii fizice  $x$  este definita prin [1]

$$\langle x \rangle = \sum_i \frac{N_i}{N} x_i = \sum_i f_i x_i \quad (1)$$

Daca se efectueaza un experiment pentru masurarea valorii lui  $x$  pentru o singura entitate din ansamblu, luata aleator, de exemplu o singura molecule, atunci  $f_i$  este probabilitatea ca masuratoarea sa dea valoarea  $x_i$  [1].

Intr-un ansamblu in echilibru termic sunt reprezentate toate valorile posibile ale oricarei marimi fizice  $x$ , deoarece numarul de entitati este foarte mare [1]. In aceasta situatie distributia discreta prezentata mai sus poate fi aproximata printr-o distributie continua in modul urmator: daca  $\Delta N_i$  este numarul de entitati care au valori ale lui  $x$  intre  $x_i$  si  $x_i + \Delta x_i$ , atunci  $\Delta f_i = \frac{\Delta N_i}{N}$  este fractiunea de entitati cu valorile lui  $x$  intre  $x_i$  si  $x_i + \Delta x_i$  [1]. Daca  $\Delta x_i$  este mic in comparatie cu  $x_i$ , dar contine inca un numar mare de entitati, suma din definitia (1) a mediei per ansamblu se poate aproxima printr-o integrala, si rezulta [1]

$$\langle x \rangle := \sum_i \frac{N_i}{N} x_i \rightarrow \int x \frac{dN}{N} \rightarrow \int x df \quad (2)$$

Deoarece  $\Delta x_i$  este mic, fractiunea de entitati cu valori ale lui  $x$  intre  $x_i$  si  $x_i + \Delta x_i$  este proportionala cu  $\Delta x_i$ , si rezulta [1]

$$\Delta f_i = \frac{\Delta N_i}{N} \propto \Delta x_i \text{ sau } \Delta f_i = P(x_i) \Delta x_i \quad (3)$$

unde functia  $P(x)$  este definita ca functie de distributie sau densitatea de probabilitate.  $P(x)$  este probabilitatea ca o marime fizica sa aiba o valoare intre  $x$  si  $x + dx$  [1]. Media per ansamblu a marimii fizice  $x$  este dat in termenii functiei de distributie de

$$\langle x \rangle := \int x P(x) dx \quad (4)$$

Observam ca deoarece  $\Delta f = P(x) \Delta x$  nu are unitate de masura, fiind o simpla fractie, densitatea de probabilitate are dimensiuni care sunt inversele dimensiunilor lui  $x$  [1].

Consideram un gaz inchis intr-un cilindru cu un piston [1]. Consideram ca asupra pistonului actioneaza o forta  $F$  perpendiculara pe suprafata pistonului [1]. Consideram ca aria suprafetei pistonului este  $A$  [1]. In echilibru presiunea gazului din cilindru care actioneaza asupra pistonului este [1]

$$P = \frac{F}{A}$$

Pentru gaze la presiune mica este valabila ecuatia [1]

$$PV = constant = C$$

unde  $V$  este volumul si  $C$  este o constanta.

Considerand o incinta in care se afla  $N$  molecule, in teoria microscopica a gazelor se defineste energia interna a gazului, notata cu  $U$ , ca energia cinetica medie a unei molecule inmultita cu numarul de molecule [1]

$$U := N \left\langle \frac{1}{2} m v^2 \right\rangle$$

unde  $m$  este masa moleculei si  $v$  este viteza moleculei. Din teoria microscopica a gazelor rezulta ca [1]

$$PV = \frac{2}{3} U$$

Daca densitatea intr-un gaz creste distanta medie dintre molecule scade [1]. Cand distanta medie dintre molecule scade in apropierea valorii fortei de atractie, grupuri de molecule pot fi legate impreuna pentru a forma agregate legate [1]. Moleculele legate se aranjeaza astfel incat fiecare oscileaza in jurul pozitiei de echilibru, care este pozitia corespunzatoare energiei potentiiale minime [1]. Cand un numar de atomi sunt legati in acest fel ei tind sa formeze arii ordonate astfel incat se pot forma diferite starii ale sa numitei materii condensate [1]. Daca

ordonarea este de distanta scurta, are o intindere de cativa atomi, se formeaza un lichid sau un solid amorf [1]. La presiuni mai mari atomii se aranjeaza intr-o structura de retea tridimensională superior ordonata, formand sisteme cristaline [1].

Natura structurii cristaline poate fi variata in functie de tipul legaturilor interatimice si consideratii energetice [1]. Putem construi un model microscopic aproximativ al solidelor, prin imaginarea atomilor vecini ca fiind legati cu resorturi microscopice fiecare cu o constanta elastica interatomica  $k$  [1]. Aceasta este o aproximatie buna deoarece daca deplasarea unui atom fata de pozitia lui de echilibru este mica atunci portiunea de energie potentiala functie de deplasare, in care se misca, se poate aproxima cu o parabola [1].

Daca un sistem primeste energie, aceasta energie poate sa contribuie simultan la cresterea energiei interne si la lucrul mecanic efectuat de sistem prin dilatarea corpului impotriva fortele externe [1]. Daca un sistem primeste caldura  $\Delta Q$  atunci [1]

$$\Delta Q = \Delta U + \Delta W$$

unde  $\Delta U$  este schimbarea de energie interna si  $\Delta W$  este lucrul mecanic efectuat asupra sau de mediul extern [1]. Aceasta ecuatie se numeste principiul I al termodinamicii [1].

Pentru un gaz la presiuni mici este valabila ecuatia [1]

$$\frac{PV}{T} = K$$

unde  $K$  este o constanta.

In interpretarea microscopică a temperaturii se poate considera ca energia cinetica medie a unei molecule dintr-un gaz este data de ecuatia [1]

$$\langle \frac{1}{2}mv^2 \rangle = \frac{3}{2}kT$$

unde  $T$  este temperatura absoluta si  $k$  este constanta lui Boltzmann. Constanta lui Boltzmann are valoarea  $k = 1.38 \times 10^{-23} \text{ JK}^{-1}$  [1].

Functia de unda, notata cu  $\psi(x, t)$ , este o marime fizica care ridicat la patrat da probabilitatea de a gasi particula in unitatea de volum [1].

Aceasta probabilitate se poate determina experimental [1]. In cazul miscarii unidimensionale probabilitatea de a gasi particula intre  $x$  si  $x + dx$  la momentul  $t$  este [1]

$$P(x, t)dx = |\psi(x, t)|^2dx \quad (5)$$

unde  $P(x, t)$  este densitatea de probabilitate in cazul unidimensional.

Un semiconductor poate sa absoarba lumina cu frecventa,  $\nu$ , mai mare decat cea corespunzatoare largimii benzii interzise  $\nu = \frac{E_g}{h}$ , unde  $E_g$  este largimea benzii interzise, si  $h = 6.6 \times 10^{-34} J s$  este constanta lui Planck [1]. Aceasta frecventa corespunde lungimii de unda  $\lambda = c/\nu$ , unde  $c = 3 \times 10^8 m/s$  este viteza luminii in vid, Pentru o energie de 1 eV corespunde in Joule valoarea  $1.6 \times 10^{-19} J$  [1]. Cand semiconductorul este iluminat cu lumina cu frecventa mai mare decat frecventa de mai sus corespunzatoare largimii benzii interzise atunci se produc tranzitiile unui numar de electroni din banda de valenta (BV) in banda de conductie (BC), creste numarul portatorilor de sarcina negativi din BC si pozitivi din BV, si creste conductivitatea semiconductorului [1]. Daca pe semiconductor se aplica o tensiune, si este iluminat cu lumina cu proprietatile de mai sus, atunci creste curentul din semiconductor [1].

Semiconductorii de siliciu, *Si*, si germaniu, *Ge*, absoarb lumina cu lungimea de unda de  $\lambda = 850 nm$ , care corespunde energiei de [1]

$$E = \frac{hc}{\lambda} \quad (6)$$

unde  $E$  este energia corespunzatoare acestei lungimi de unda. Rezulta o energie care se calculeaza in ecuatia urmatoare

$$E = \frac{1}{1.6 \times 10^{-19}} \times \frac{6.6 \times 10^{-34} \times 3 \times 10^8}{850 \times 10^{-9}} = 1.46 eV \quad (7)$$

care corespunde valorii de 1.46 eV din bibliografia de la pozitia [2]. Datorita proprietatilor acestora, straturi subtiri de *Ge* pe substrat de *Si* se pot folosi pentru integrarea fotodetectorilor rapizi de *Ge* pe dispozitive complementare de *Si* metal-oxid-semiconductor (CMOS) si pentru conectori optici [1,2].

Largimea benzii interzise a *Ge* la temperatura de 7 K este 0.742 eV [2].

Pentru *Si* la temperatura camerei largimea benzii interzise este 1.1 eV [3].

Pentru impuritatile care induc vibratii suficiente si pordu fononi, s-a detectat o lumeniscenta, in spectrul de fotoluminiscenta (PL), explicata prin recombinarea excitonilor liberi care nu este asistata de fononi [1,2]. In cazul impuritatilor care nu induc vibratii suficiente ca sa produca fononi, s-a constatat ca fotoluminiscenta produsa de recombinarea excitonilor liberi care nu este asistata de fononi nu se produce [2]. De asemenea s-au observat picuri fotoluminiscente corespunzatoare recombinarilor asistate de fononi [2].

In bibliografie la pozitia [2] s-a confirmat experimental ca PL rezulta din recombinarea excitonilor , care sunt indirect generate de crearea electronilor si golurilor.

Conectand o bobina la cei doi poli ai unei baterii am observat producerea unei scantei, pentru studiul careia propunem o metoda in aceasta cerere de brevet de inventie. In acest

experiment am folosit un cui de fier cu diametrul de **6 mm** de la Ductil Buzau, pentru a creste inductia magnetica a miezului bobinei de aproximativ 1000 de ori, pe care am infasurat patru straturi de spire din sarma de cupru cu diametrul de **0.3 mm**, folosita la bobinaj in Buzau ca in pozitiile [1] si [4] din bibliografie. Prin scoaterea cuiului magnetizat din bobina am obtinut o tensiune electromotoare indusa prin inductie electromagneticica de **9.4 mV**.

Functia de probabilitate a excitonilor este descrisa de functia de probabilitate Fermi-Dirac, care in aproximatie Boltzmann este [2]

$$f_B(E) = e^{-(E-E_0)/kT} \quad (8)$$

unde  $E_0 = E_g - E_{exciton} \pm E_{phonon}$ , unde  $E_{exciton}$  este energia de legatura a excitonului liber si  $E_{phonon}$  este energia ffononului. Pentru tranzitii indirekte densitatea starilor de excitoni este proportionala cu [2]

$$(E - E_0)^{0.5} \quad (9)$$

Rezulta ca luminiscenta anihilarii excitonilor liberi pentru *Ge* trebuie sa aiba forma [2]

$$f_B(E) = (E - E_0)^{0.5} e^{-(E-E_0)/kT} \quad (10)$$

Ecuatia (10) a fost demonstrata pentru temperaturi de **100 K, 200 K, 3000 K, si 400 K** [2]. In ecuatia (10) exponentiala se poate dezvolta in serie Taylor [5]

$$e^x = \sum_{n=0}^{\infty} \frac{x^n}{n!} \quad (11)$$

Notand cu  $x = -\frac{E-E_0}{kT}$  si efectuind dezvoltarea Taylor din ecuatii (10) si (11) obtinem

$$f_B(E) = (E - E_0)^{0.5} \sum_{n=0}^{\infty} \frac{x^n}{n!} = (E - E_0)^{0.5} \sum_{n=0}^{\infty} \frac{1}{n!} \left( -\frac{E - E_0}{kT} \right)^n \quad (12)$$

Folosind integrala [1,5,6] pe un interval mai mic de energie in care poate varia energia  $E$ , in ecuatia (12) se pot păstra un numar de  $m$  termeni semnificativi, si ecuatia (12) se poate intregi in functie de energie, de la energia  $E_1$  la energia  $E_2$ , pentru diferite temperaturi pentru care s-au efectuat experimente, si se obtine o ecuatie care se poate calcula

$$\int_{E_1}^{E_2} f_B(E) = \sum_{n=0}^m \frac{1}{(n+1.5)n!} \frac{(-1)^n}{(kT)^n} (E - E_0)^{n+1.5} \Big|_{E_1}^{E_2} \quad (13)$$

Deoarece logaritmul natural [1,5,6] al functiei (10) in functie de energie conform teoriei si datelor experimentale este aproximativ o dreapta si derivata acestui logaritm da panta dreptei

care se obtine experimental [2], putem calcula in cate doua puncte apropiate logaritmul ecuatiei (13) luind primii termeni semnificativi si astfel putem calcula panta dreptei pe care o comparam cu datele experimentale.

Dependenta de temperatura a largimii benzii interzise  $E_g$  a Ge poate fi descrisa cu ecuatie empirica Varshni [2]

$$E_g(T) = 0.742 - 4.8 \times \frac{10^{-4}T^2}{(T + 235)} \quad (14)$$

Pentru  $300\text{ K}$  rezulta folosind ecuatie (14) o largime a benzii interzise de  $E_g = 0.661\text{ eV}$ .

Pentru temperaturi intre  $300\text{ K}$  si  $400\text{ K}$ , largimea benzii interzise se poate calcula cu formula (14), care da rezultate verificate experimental in lucrarea de la punctul [2] din bibliografie, energia de absortie a fotonului care presupunem ca este energia fotonului calculata in aceasi lucrare pentru temperaturi intre  $100\text{ K}$  si  $400\text{ K}$  este  $E_{fonon} = 8\text{ meV}$ , si cunoscand energia excitonului,  $E_{exciton}$ , se poate calcula energia  $E_0$ , si cu aceasta energie se poate fita dependenta de energie a ecuatiei (10) si (12) pentru temperaturi intre  $300\text{ K}$  si  $400\text{ K}$ .

Daca inlocuim ecuatie (14) in ecuatie (10) si folosim valoarea pentru energia fotonului de mai sus obtinem

$$f_B(E) = \left( E - \left( 0.742 - 4.8 \times \frac{10^{-4}T^2}{(T + 235)} - E_{exciton} \right. \right. \\ \left. \left. \pm E_{fonon} \right) \right)^{0.5} e^{-\left( E - \left( 0.742 - 4.8 \times \frac{10^{-4}T^2}{(T + 235)} - E_{exciton} \pm E_{fonon} \right) \right) / kT} \quad (15)$$

Daca se cunosc energiile excitonului si fotonului atunci ecuatie (15) se poate reprezinta grafic in functie de energie, sau se poate aplica logaritmul natural ecuatiei (15) si acesta sa se reprezinte grafic, si in ambele cazuri de reprezentari grafice sa se verifice rezultatele experimentale din lucrarea de la punctul [2] din bibliografie pentru temperaturi intre  $300\text{ K}$  si  $400\text{ K}$ . Presupunem ca datele experimentale obtinute in pozitia [2] din bibliografie au fost fitate in functie de energie in aceasta lucrare din bibliografie de la pozitia [2] la temperaturile de  $300\text{ K}$  si  $400\text{ K}$  folosind ecuatie (15).

Noi propunem folosirea ecuatiei (12), in care pastram primii  $m$  termeni semnificativi, pentru fitarea datelor experimentale in functie de energie din bibliografie de la pozitia [2], si in aceasta ecuatie sa inlocuim largimea benzii interzise data de ecuatie (14), energia excitonului si energia fotonului, la temperaturi intre  $300\text{ K}$  si  $400\text{ K}$ , si astfel obtinem pentru fitarea datelor experimentale ecuatie

$$\begin{aligned}
 f_B(E) &= \left( E \right. \\
 &- \left( 0.742 - 4.8 \times \frac{10^{-4}T^2}{(T + 235)} - E_{exciton} \right. \\
 &\left. \pm E_{fonon} \right)^{0.5} \sum_{n=0}^m \frac{1}{n!} \left( \frac{E - \left( 0.742 - 4.8 \times \frac{10^{-4}T^2}{(T + 235)} - E_{exciton} \pm E_{fonon} \right)}{kT} \right)^n (-1)^n \quad (16)
 \end{aligned}$$

1. In aceasta cerere de brevet de inventie propunem spre brevetare o metoda de masurare esantionata, in intervale scurte de timp, a radiatiei emise prin dezexcitarea a doua elemente chimice sau molecule diferite, pentru care probabilitatea de tranzitie pe starea de energie mai joasa este diferita, si astfel prin spectroscopie si spectrometrie sa se obtina intensitatile diferite ale celor doua linii si probabilitatile diferita de tranzitie ale celor doua stari, metoda prin care se foloseste un fotodetector integrat rapid format din straturi subtiri de *Ge* pe substrat de *Si*, conform cu cel descris mai sus si prezentat in bibliografie la pozitia [2], astfel incat atunci cand de pe starea de pe care se produc tranzitiile mai repede, s-au produs tranzitiile, si raman semnalele emise prin tranzitiile de pe celalalt stare atunci se poate determina intensitatea radiatiei emise prin al doilea tip de tranzitie, care se scade din intensitatea totala de la inceputul masuratorii, si se obtine intensitatea primului tip de radiatie.

2. In acest brevet de inventie propunem spre brevetare o metoda de masurare esantionata, in intervale scurte de timp, a intensitatii radiatiei emisa prin producerea unei scatei cand se conecteaza cei doi poli ai unei baterii, prin care se foloseste fotodetectorul integrat rapid din *Ge* descris mai sus, si astfel obtinerea dependentei in timp a intensitatii radiatiei electromagnetice emise de scanteie pentru una, doua sau mai multe frecvente.

3. In aceasta inventie propunem o metoda prin care se foloseste ecuatia (12) pentru determinarea energiei  $E_0$  si demonstrarea dependentei de temperatura data de ecuatia (10) a luminiscenteii anihilarii excitonilor liberi pentru *Ge* prin faptul ca se verifica valabilitatea ecuatiei (10) pentru diferite temperaturi prin verificarea dependentei de energia  $E$  a ecuatiei (10) la diferite temperaturi, si determinarea constantei lui Boltzmann, si prin care se foloseste ecuatia (13) a carei integrala se poate calcula pentru un interval de energie de la  $E_1$  la  $E_2$  pentru diferite temperaturi, si a carei valoare se poate compara cu rezultatele experimentale, cu ajutorul carora se poate obtine o curba si se poate calcula aria de sub curba ca integrala intensitatii intre cele doua energii, care corespunde integralei functiei date de ecuatia (10) intre cele doua energii, pentru verificarea dependentei de temperatura a ecuatiei (12) si de asemenea si dependentei de energia  $E_0$  a ecuatiei (12), si deoarece logaritmul natural [1,5,6] al functiei (10) in functie de

energie conform teoriei si datelor experimentale este aproximativ o dreapta, si derivata acestui logaritmul da panta dreptei, care se obtine experiemntal [2], putem calcula in cate doua puncte apropriate logaritmul ecuatiei (13), luind primii termeni semnificativi, si astfel putem calcula panta dreptei pe care o comparam cu datele experimentale.

4.Noi propunem propunem spre brevetare o metoda prin care in ecuatia (12) inlocuim largimea benzii interzise data de ecuatia (14), energia excitonului si energia fononului, la temperaturile de  $300\text{ K}$  si  $400\text{ K}$  si astfel obtinem ecuatia (16) pe care o folosim pentru fitarea datelor experimentale in functie de energie obtinute in lucrarea din bibliografie de la punctul [2], si verificam dependenta de temperatura a ecuatiei (10) la temperaturile de  $300\text{ K}$  si  $400\text{ K}$ .

2013 - 00551

23-07-2013

12

### BIBLIOGRAFIE

- [1] M. Mansfield and C. O'Sullivan, Understanding physics, Wiley, 2011.
- [2] R. R. Lieten et al., Phys. Rev. B 86, 035204 (2012).
- [3] J. Hecht, LaserFocusWorld, Vol. 48 No. 12 (2012) pag 50-50.
- [4] N. Ardley, 101 great science experiments, Dorling Kindersley, 2006.
- [5] Steven A. Leduc, Cliffs Quick Review Differential Equations, Wiley, 1995.
- [6] B. V. Zandy et al., Cliffs Quick Review Calculus, Wiley, 2001.

## REVENDICARILE

1.In aceasta cerere de brevet de inventie propunem spre brevetare o metoda de masurare esantionata a radiatiei emise prin dezexcitarea a doua elemente chimice sau molecule diferite, pentru care probabilitatea de tranzitie pe starea de energie mai joasa este diferita, si astfel prin spectroscopie si spectrometrie sa se obtina intensitatile diferite ale celor doua linii si probabilitatile diferite de tranzitie ale celor doua stari, metoda prin care se foloseste un fotodetector integrat rapid format din straturi subtiri de *Ge* pe substrat de *Si*, conform cu cel descris mai sus si prezentat in bibliografie la pozitia [2], astfel incat atunci cand de pe starea de pe care se produc tranzitiile mai repede, s-au produs tranzitiile, si raman semnalele emise prin tranzitiile de pe celalalta stare, atunci se poate determina intensitatea radiatiei emise prin al doilea tip de tranzitie, care se scade din intensitatea totala de la inceputul masuratorii, si se obtine intensitatea primului tip de radiatie.

2.In acest brevet de inventie propunem spre brevetare o metoda de masurare esantionata, in intervale scurte de timp, a intensitatii radiatiei emisa prin producerea unei scatei cand se conecteaza cei doi poli ai unei baterii, prin care se foloseste fotodetectorul integrat rapid din *Ge* descris mai sus, si astfel obtinerea dependentei in timp a intensitatii radiatiei electromagnetice emise de scanteie pentru una, doua sau mai multe frecvente.

3.In aceasta inventie propunem o metoda prin care se foloseste ecuatia (12) pentru determinarea energiei  $E_0$  si demonstrarea dependentei de temperatura data de ecuatia (10) a luminiscentei anihilarii excitonilor liberi pentru *Ge* prin faptul ca se verifica valabilitatea ecuatiei (10) pentru diferite temperaturi prin verificarea dependentei de energia  $E$  a ecuatiei (10) la diferite temperaturi, si determinarea constantei lui Boltzmann, si prin care se foloseste ecuatia (13) a carei integrala se poate calcula pentru un interval de energie de la  $E_1$  la  $E_2$  pentru diferite temperaturi, si a carei valoare se poate compara cu rezultatele experimentale, cu ajutorul carora se poate obtine o curba si se poate calcula aria de sub curba ca integrala intensitatii intre cele doua energii, care corespunde integralei functiei date de ecuatia (10) intre cele doua energii, pentru verificarea dependentei de temperatura a ecuatiei (12) si de asemenea si dependentei de energia  $E_0$  a ecuatiei (12), si deoarece logaritmul natural [1,5,6] al functiei (10) in functie de energie conform teoriei si datelor experimentale este aproximativ o dreapta, si derivata acestui logaritm da panta dreptei, care se obtine experiemntal [2], putem calcula in cate doua puncte apropriate logaritmul ecuatiei (13), luind primii termeni semnificativi, si astfel putem calcula panta dreptei pe care o comparam cu datele experimentale.

4.Noi propunem propunem spre brevetare o metoda prin care in ecuatia (12) inlocuim largimea benzii interzise data de ecuatia (14), energia excitonului si energia fononului, la temperaturile de  $300\text{ K}$  si  $400\text{ K}$ , si astfel obtinem ecuatia (16) pe care o folosim pentru fitarea datelor experimentale in functie de energie, la diferite temperaturi, obtinute in lucrarea din bibliografie de la punctul [2], si verificam dependenta de temperatura a ecuatiei (10) la

α=2013 - 00551  
23-07-2013

23

10

temperaturile de  $300\text{ K}$  si  $400\text{ K}$ , si temperaturi mai mici folosind corectiile din lucrarea indicata mai inainte.